

## کاربرد تصاویر ماهواره‌ای سنتینل-۵ در شناسایی کانون‌های آلاینده‌های هوای ایران

شیوا غربی؛ دانشجوی دکتری، ارزیابی و آمایش سرزمین، گروه محیط زیست، دانشکده منابع طبیعی، دانشگاه ملایر، ایران.

کامران شایسته<sup>۱</sup>؛ استادیار گروه محیط‌زیست، دانشکده منابع طبیعی، دانشگاه ملایر، ملایر، ایران.

دریافت مقاله: ۱۳۹۹/۰۱/۱۳  
پذیرش نهایی: ۱۴۰۰/۰۲/۲۸

### چکیده

استفاده از داده‌های سنجش از دوری جهت پایش کیفیت هوای برای پژوهش‌های مرتبط با محیط زیست حائز اهمیت است. ماهواره سنتینل-۵ با سنجنده Tropomi امکان ردبایی آلاینده‌های گازی را می‌دهد. در این مطالعه با استفاده از GEE، پروداکت آلاینده‌های CO<sub>۲</sub>, SO<sub>۲</sub>, NO<sub>۲</sub> و AI فرآخوانی و میانگین غلظت آن‌ها در مقیاس مکانی ایران و بازه زمانی سال ۲۰۱۹ نقشه‌سازی شد. جهت بررسی وضعیت خوشبندی از آماره G و شناسایی لکه‌های داغ از آماره Gi برای هر آلاینده در محیط GIS استفاده شد. تعیین الگوی پراکنش آلاینده‌ها با شاخص موران انجام شد. بر اساس نتایج، غلظت آلاینده‌های CO و O<sub>۳</sub> در پاییز روند افزایشی و در بهار روند کاهشی داشته است و تغییرات غلظت SO<sub>۲</sub> و NO<sub>۲</sub> از الگوی خاصی تبعیت نمی‌کند. نتایج آماره G نشان داد که آلاینده‌ها در منطقه دارای الگوی توزیع خوش‌ای و دارای خودهمبستگی فضایی (شاخص موران = ۷۲/۰) هستند. تحلیل لکه‌های داغ برای مجموع آلاینده‌ها نیز نشان داد که آبادان، اهواز، بندر امام خمینی، ماهشهر و عسلویه، تهران و پاکدشت آلوده‌ترین مناطق هستند. صنایع گاز و پتروشیمی آبادان، اهواز، بندر امام خمینی، ماهشهر و عسلویه انواع مختلفی از آلاینده‌ها از جمله CO<sub>۲</sub>, NO<sub>۲</sub>, SO<sub>۲</sub>, AI را تولید می‌کنند که اثرات جبران ناپذیری بر سلامت انسان‌ها و اکوسیستم‌ها دارند. غلظت CO و NO<sub>۲</sub> نیز به دلیل افزایش شمار وسایل نقلیه گاز سوز در تهران و پاکدشت بالا است. در نهایت، تاکید این مطالعه بر پایش‌های آلاینده‌های هوای توسط سازمان‌های متولی با استفاده از تصاویر ماهواره‌ای برای افزایش کیفیت زندگی و راهکارهایی جهت پیشگیری و کنترل آلودگی است.

واژه‌های کلیدی: پایش آلاینده هوای سنتینل، تصاویر ماهواره‌ای، کانون آلودگی، شاخص موران.

<sup>۱</sup>. نویسنده مسئول

#### مقدمه

امروزه بسیاری از شهرهای دنیا با مشکلات محیط‌زیستی مواجه هستند که در راس آن‌ها وضعیت نامطلوب کیفیت هوا قرار گرفته است (Piraino et al., ۲۰۰۶). آلودگی هوا می‌تواند آثار زیان‌آور زیادی بر انسان، گیاهان، موجودات و دارایی‌های انسان داشته باشد (Wark and Warner, ۱۹۸۱) و هواشناسان، اقلیم شناسان، دانشمندان محیط‌زیست به همراه پژوهشگران می‌کوشند تا با انجام پیش‌بینی‌های لازم و تحلیل میزان توزیع و انتقال آلاینده‌های هوا، اثرات زیانبار بر اقلیم و آب و هوا و کیفیت هوا را به کمترین میزان ممکن برسانند (محمودی سراب و همکاران، ۱۳۹۷). کیفیت هوا تابع عوامل مختلفی از جمله منابع آلاینده‌ها، عوامل هواشناسی و اقلیمی، شرایط توپوگرافیکی و واکنش‌های شیمیایی بین آلاینده‌ها است که هریک نقش خاصی در شکل‌گیری آلودگی هوا و تاثیر منفی بر کیفیت هوا دارند (محمدی و همکاران، ۱۳۹۷). آلاینده‌ها از لحاظ حالت فیزیکی (جامد، مایع و گاز)، منبع انتشار (سیار، ثابت، طبیعی، انسان‌ساخت) طبقه‌بندی می‌شوند (Tiwary and Colls, ۲۰۰۹) و از مهمترین آلاینده‌های هوا می‌توان مونوکسید کربن (CO)، دی‌اکسید گوگرد (SO<sub>2</sub>، دی‌اکسید نیتروژن (NO<sub>2</sub>، ازن تروپوسفری (O<sub>3</sub>) و آئروسل (AI) را نام برد که هر کدام دارای اثرات متعددی بر سلامت انسان و محیط زیست هستند. مونوکسید کربن از طریق احتراق ناقص سوخت‌های حاوی کربن مانند چوب، زغال سنگ، نفت، گاز طبیعی و نفت سفید تولید می‌شود (WHO, ۲۰۱۰). صنایع و وسائل نقلیه موتوری به عنوان مهمترین منابع برای آلودگی اتمسفری مونوکسید کربن در محیط‌های شهری شناخته می‌شوند. مواجهه با این آلاینده منجر به اثر بر روی سیستم قلبی-عروقی، ریه‌ها، سیستم اعصاب مرکزی و هموگلوبین خون خواهد شد (Reboul et al., ۲۰۱۲). دی‌اکسید گوگرد، یکی از آلاینده‌های اصلی و محرك دستگاه تنفسی است که میزان انتشار آن به دلایل رشد اقتصادی و استفاده بی‌رویه انرژی در حال افزایش است (Chen et al., ۲۰۱۲a) و از منابع زیادی از جمله نیروگاه‌ها، مخازن ذوب فلزات، صنایع سنگین و ترافیک شهری وارد هوا شده (Granahan, and Murray, ۲۰۰۳) و منجر به برخی ناراحتی‌های قلبی-عروقی و همچنین افزایش میزان ابتلاء و مرگ و میر می‌گردد (Chen et al., ۲۰۱۲b). دی‌اکسید نیتروژن نیز منجر به تحریک یا التهاب مجاري تنفسی می‌شود که در هوای آزاد بیشتر بر اثر احتراق سوخت در منابع ثابت (نیروگاه‌ها) و منابع متحرک (وسائل نقلیه) منتشر می‌شود. این آلاینده نیز منجر به افزایش خطر مرگ و میر می‌گردد (Chen et al., ۲۰۱۲a) و به عنوان شاخص آلودگی هوا ناشی از تردد وسائل نقلیه در نظر گرفته شده است (قربانی و فیروز زارع، ۱۳۸۸). ازن یکی از آلاینده‌های بسیار مهم دیگری است که بخصوص در فصل تابستان غلظت‌های بالاتری از آن وجود دارد و در این فصل دارای اثرات بیشتری است (Wilson et al., ۲۰۰۴). ذرات معلق شامل سولفات، نیترات، کربن ارگانیک، کربن عنصری، ریزگرد و نمک دریایی است (Daniel et al., ۲۰۰۹). در زمینه ریزگردها، مواجهه کوتاه مدت با ذرات معلق می‌تواند منجر به برونشیت، آسم و تغییراتی در ضربان قلب شده و مواجه طولانی مدت با ذرات خطر ابتلا به سرطان ریه و بیماری‌های تنفسی را افزایش می‌دهد (de Kok et al., ۲۰۰۶). مطالعات بسیاری در زمینه پایش این آلاینده‌ها بر اساس اطلاعات و آمارهای دستگاه‌های سنجش آلودگی صورت گرفته است اما استفاده از تصاویر ماهواره‌ای در زمینه پایش و اندازه‌گیری آلاینده‌ها به طور محدود انجام شده است. برای مثال قربانی سالخورد و همکاران (۱۳۹۱) به برآورد غلظت ذرات معلق با استفاده از سنجنده مودیس در استان تهران پرداختند، و حجازی و همکاران (۱۳۹۱) نقشه توزیع مکانی ذرات معلق

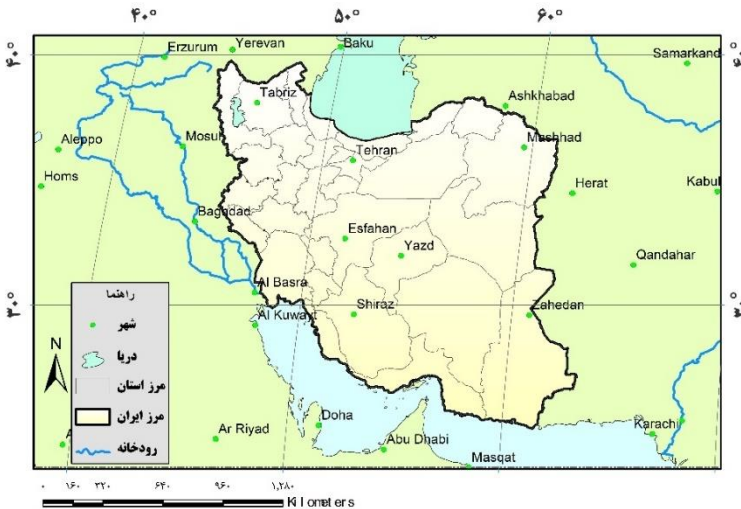
به قطر ۲/۵ میکرومتر را در هوای شهر تهران با استفاده از سنجنده مودیس تهیه کردند. ماهواره Sentinel ۵p در ۱۳ اکتبر ۲۰۱۷ صرفا برای پایش و کنترل آلاینده‌های هوای به فضا ارسال شد. سنجنده Tropomi به صورت روزانه نقشه‌های آلودگی هوای را تهیه می‌کند و از باندهای ماوراء بنفس (۲۷۰-۳۲۰ نانومتر)، محدوده مرئی (۳۱۰-۵۰۰ نانومتر)، مادون قرمز نزدیک (۶۷۵-۷۷۵ نانومتر) و مادون قرمز طول موج کوتاه (۲۳۰۵-۲۳۸۵ نانومتر) پشتیبانی می‌کند. این ماهواره در ارتفاع ۸۲۴ کیلومتری قرار دارد و به نحو قابل قبولی در شناسایی گازهای CO, NO<sub>2</sub>, O<sub>3</sub> و AI مفید است. برنامه<sup>۱</sup> GEE بسترهای تجزیه و تحلیل داده‌های مکانی در مقیاس سطح کره زمین است. در GEE مجموعه بسیار بزرگی از سری زمانی انواع تصاویر ماهواره‌ای در هر دو محدوده اپتیک و راداری است و از طریق رابط برنامه نویسی کاربردی API تحت اینترنت و محیط (توسعه تعاملی مبتنی بر وب) امکان نمونه‌سازی سریع و تجسم نتایج را فراهم می‌کند. با استفاده از زبان برنامه نویسی پایتون، API تحت وب اجرا و الگوریتم و نقشه‌های مورد نیاز تولید می‌شود. مجموعه‌ای از تصاویر ماهواره‌ای و پروداکت‌های به دست آمده در GEE شامل محصولاتی از جمله متغیرهای محیطی، تغییرات آب و هوای اقلیم، کاربری و پوشش زمین، توپوگرافی و داده‌های اقتصادی حاصل از تصاویر ماهواره‌ای شامل Landsat ۱-۸، Sentinel ۱, ۲, ۳, ۵, VIIRS (Aqua/Terra), GPM و GOES است. با توجه به رشد روز افزون این آلاینده‌ها، در این پژوهش سعی بر آن شده است تا میانگین غلظت مکانی مهمترین آلاینده‌های هوای عnon کانون‌های بالفعل آلودگی در مقیاس ایران از مهر ماه ۱۳۹۷ تا آذر ماه ۱۳۹۸ شناسایی شود. همچنین آلوده‌ترین کانون‌های ایران بر اساس میانگین ۵ آلاینده از اهداف دیگر این پژوهش است. بکارگیری ماهواره سنتینل جهت تهیه نقشه مکانی آلاینده‌های هوای اولین پژوهش در ایران به شمار می‌رود. از این‌رو، هدف از این مطالعه نشان دادن توانایی پایش آلاینده‌های هوای توسط ماهواره سنتینل و تصاویر GPW جهت تولید نقشه تراکم جمعیتی برای اولین بار در مقیاس ایران است.

## داده‌ها و روش کار

### الف) قلمرو جغرافیایی مورد مطالعه

ایران کشوری است واقع در غرب آسیا و مرکز خاورمیانه با مساحت تقریبی ۱۶۶ میلیون هکتار که بین عرض‌های ۲۵ تا ۴۰ درجه شمالی و طول ۴۴ تا ۶۴ درجه شرقی قرار گرفته است (شکل ۱). حدود ۵۴/۶ درصد سطح کشور را مرتع، ۲۰/۶ درصد بیابان، ۷/۵ درصد جنگل، ۱۱/۲ درصد زمین‌های کشاورزی و ۶/۴ درصد را مناطق مسکونی و سایر تشکیل می‌دهد. بر اساس آخرین سرشماری دارای جمعیتی حدود ۸۰ میلیون نفر است.

<sup>۱</sup>. Google Earth Engine



شکل ۱: منطقه مطالعاتی

### ب) روش کار

این مطالعه از نوع غیر مداخله‌ای و توصیفی تحلیلی می‌باشد. با استفاده از زبان برنامه‌نویسی پایتون در محیط برنامه GEE اقدام به فراخوانی پروداکت‌های مختلف مربوط به تصاویر آلاینده‌های CO<sub>2</sub>, NO<sub>2</sub>, SO<sub>2</sub>, CO و AI حاصل از تصویر ماهواره سنتیتل-۵ در طول دوره زمانی یک‌سال گذشته (۲۰۱۹) در مقیاس مکانی ایران، جهت پایش آلاینده‌های جوی و تعیین کانون‌های آلوده گردید. در ابتدا، برای هر یکی از پروداکت‌های سنتیتل-۵ یک تابع خام تعریف شد. هر تابع میانگین غلظت آلاینده‌ها را در یک مرز مطالعاتی مشخص و یک بازه زمانی تعیین می‌کنند. هر تابع دارای چندین ورودی است و اولین ورودی مجموعه داده<sup>۱</sup> است که شامل تصاویر ماهواره‌ای با یک زمان شروع (۲۰۱۸/۱۰/۱) و یک زمان پایان (۲۰۲۰/۱۰/۱) است. هر تابع نیز بر روی باند ویژه مرتبط با مجموعه تصاویر آلاینده مد نظر اعمال می‌شود. بنابراین، برای هر آلاینده مجموعه داده و باند مشخصی بر اساس جدول (شماره ۱) وجود دارد. متغیر دیگری جهت برش تصاویر ماهواره‌ای فراخوانی شده حاصل از متغیر اول تعریف می‌شود که تصاویر را بر اساس مرز مطالعاتی (ایران) برش می‌دهد. متغیر خروجی نیز مجموعه‌ای از تصاویر فراخوانی شده در فیلتر زمانی (سال ۲۰۱۹) و فیلتر مکانی (مرز ایران) تعریف شده با توان تفکیک یک کیلومتری است. خروجی حاصل از میانگین غلظت آلاینده‌ها برای هر ماه به صورت جداگانه و در سال در این فیلترها محاسبه می‌شود. سپس نقشه مکانی میانگین غلظت آلاینده‌ها در نرم‌افزار Arc map مورد تحلیل قرار گرفت و اطلاعات آماری مربوط به میانگین غلظت این آلاینده‌ها توسط نرم‌افزار آماری SPSS پردازش شد (جدول ۱). همچنین در شکل (۲) نمونه برنامه نویسی در برنامه GEE برای تولید نقشه میانگین غلظت آلاینده دی اکسید نیتروژن برای محدوده مکانی ایران در طول سال ۲۰۱۹ نشان داده شده است (شکل ۲).

<sup>۱</sup> Data collection

**جدول ۱: مشخصات محصولات سنتیل ۵ برای آلاینده‌های مورد بررسی (CO, SO<sub>2</sub>, NO<sub>2</sub>, AOD, O<sub>3</sub>)**

تعداد تصاویر	توضیحات /حداکثر /حداقل / واحد /باند	مجموعه داده	پروداکت
۲۱۰۹	CO_column_number_density/ mol/m <sup>۲</sup> / - ۲۷۹*/ ۴,۶۴*/ Vertically integrated CO column density.	COPERNICUS /S <sup>۰</sup> P/NRTI/L <sup>۲</sup> _CO	Sentinel-۰P NRTI CO: Near Real-Time Carbon Monoxide CO
۲۶۷۲	absorbing_aerosol_index/ - / ۲۵*/ ۳۹*/ A measure of the prevalence of aerosols in the atmosphere, calculated by this equation using the ۳۵۴/۳۸۸ wavelength pair.	COPERNICUS /S <sup>۰</sup> P/NRTI/L <sup>۲</sup> _AER_AI	Sentinel-۰P NRTI AER AI: Near Real-Time UV Aerosol Index
۲۶۲۲	NO <sub>۲</sub> _column_number_density/ mol/m <sup>۲</sup> / - ۰...۶*/ ۰...۹۶*/ Total vertical column of NO <sub>۲</sub> (ratio of the slant column density of NO <sub>۲</sub> and the total air mass factor)	COPERNICUS /S <sup>۰</sup> P/NRTI/L <sup>۲</sup> _NO <sub>۲</sub>	Sentinel-۰P NRTI NO <sub>۲</sub> : Near Real-Time Nitrogen Dioxide NO <sub>۲</sub>
۲۶۲	O <sub>۳</sub> _column_number_density/ mol/m <sup>۲</sup> / - ۰...۴۷*/ ۰,۲۷۲*/ Total atmospheric column of O <sub>۳</sub> between the surface and the top of atmosphere, calculated with the DOAS algorithm	COPERNICUS /S <sup>۰</sup> P/NRTI/L <sup>۲</sup> _O <sub>۳</sub>	Sentinel-۰P NRTI O <sub>۳</sub> : Near Real-Time Ozone O <sub>۳</sub>
۲۲۰۷	SO <sub>۲</sub> _column_number_density/ mol/m <sup>۲</sup> / - ۴۸*/ ۰,۲۴*/ SO <sub>۲</sub> vertical column density, calculated using the DOAS technique.	COPERNICUS /S <sup>۰</sup> P/NRTI/L <sup>۲</sup> _SO <sub>۲</sub>	Sentinel-۰P NRTI SO <sub>۲</sub> : Near Real-Time Sulphur Dioxide SO <sub>۲</sub>

pollutant \*

Imports (1 entry) Get Link Save Run Reset Apps

```

pollutant * فراخوانی تصاویر NO2
Imports (1 entry) Get Link Save Run Reset Apps
  var table: Table users/shivaghariibi68/marz_iran
  باش تغییرات ماهانه NO2
  1 var NO2 = ee.ImageCollection('COPERNICUS/S5P/NRTI/L3_NO2')
  2 .filterBounds(IRAN)
  3 .filterDate('2018-01-01','2020-01-01')
  4 .select('NO2_column_number_density');
  5 var NO2_clip = NO2.map(function(img){
  6   return img.clip(table).rename('Nitrogen Dioxide')
  7   .copyProperties(img,['system:time_start','system:time_end']));
  8 }
  9
  10 var monthly_map = function(collection, start, count, interval, units){
  11   var sequence = ee.List.sequence(0,ee.Number(count).subtract(1));
  12   var original_date = ee.Date(start);
  13   return ee.ImageCollection(sequence.map(function(i){
  14     var start_date = original_date.advance(ee.Number(interval).multiply(i),units);
  15     var end_date = original_date.advance(ee.Number(interval).multiply(ee.Number(i).add(1)),units);
  16     return collection.filterDate(start_date,end_date).mean()
  17     .set('system:time_start',start_date.millis())
  18     .set('system:time_end',end_date.millis());
  19   }));
  20   var monthly_product = monthly_map(NO2_clip,'2018-01-01', 24, 30, 'day');
  21   print(monthly_product);
  22
  23
  
```

**شکل ۲: نمونه Script اجرا شده برای فراخوانی تصاویر سنتیل جهت پایش تغییرات NO<sub>2</sub>**

بعد از اجرای برنامه نویسی در محیط GEE، نقشه‌های مکانی کانون آلاینده‌ای هوا به صورت جداگانه بر اساس میانگین غلظت هر کدام از آلاینده‌ها در سال و تغییرات آن‌ها در هر ماه در سال مورد بررسی تولید شد. سپس برای تعیین نقاط داغ از لحظه تمام آلاینده‌ها، نقشه مکانی رستری هر کدام از آلاینده‌ها (شکل ۸) با استفاده از الگوریتم Jenks در ۹ طبقه (از تراکم بسیار بالا تا بسیار کم) طبقه‌بندی گردید. به صورتی که طبقه اول در هر نقشه نشان‌دهنده حداقل مقدار آلاینده و طبقه ۹ نشان

دهده حداکثر مقدار آلاینده بر روی تصویر است. این روش آماری بر اساس توزیع نرمال داده‌ها<sup>۱</sup> باعث بdst آمدن فاصله بیشتر طبقات ناهمگن با حداکثر تفاوت بین این طبقات می‌شود به طوری که نقاط عطف داده‌ها مرز بین طبقات را مشخص می‌نماید. سپس لایه طبقه‌بندی شده آلاینده‌های NO<sub>2</sub>, CO<sup>۲</sup>, SO<sub>2</sub>, AI و O<sup>۳</sup> به روش Union ترکیب و طبقات در هم ضرب و سپس نقشه نهایی بر اساس ارزش طبقات ضرب شده در ۵ گروه طبقه‌بندی مجدد شد. به منظور تحلیل فضایی و بررسی آماری سهم استان‌ها و شهرستان‌ها از هر کدام از آلاینده‌ها، با استفاده از ابزار تحلیل ناحیه‌ای<sup>۴</sup> مرز استان‌ها و شهرستان‌ها به عنوان واحد کاری انتخاب و آماره میانگین ارزش آلاینده‌ها برای هر واحد استخراج شد. برای تعیین جمعیت هر استان نیز از آخرین اطلاعات سرشماری ایران و همچنین تصاویر ماهواره‌ای مربوط به نسخه چهارم محصول GPW<sup>۵</sup> استفاده شد. GPW توزیع جمعیت انسانی را برای سال‌های ۲۰۰۰، ۲۰۰۵، ۲۰۱۰، ۲۰۰۵ و ۲۰۲۰ در شبکه‌های سلولی تقریباً یک کیلومتری مدل‌سازی می‌کند. توزیع جمعیت در سلول‌ها با استفاده از تخصیص بهینه جمعیت از طریق واحدهای سرشماری و تقسیمات اداری صورت گرفته است. داده‌های ورودی جمعیتی در بیشترین توان تفکیک مکانی در دسترس از نتایج حاصل از سرشماری سال ۲۰۱۰، که بین سال‌های ۲۰۰۵ تا ۲۰۱۴ رخ داده است، جمع‌آوری شده است. شبکه‌های تراکم جمعیت شامل برآوردهای از تعداد افراد در هر کیلومتر مربع مطابق با سرشماری‌های ملی اطلاعات ثبت شده جمعیتی است. در این مدل برای هر سال یک تصویر از تراکم جمعیت وجود دارد که اطلاعات این تصویر در جدول (۲) نشان داده شده است (Earth Engine Data Catalog). با استفاده از سامانه گوگل ارث انجین تصویر ماهواره‌ای برای کل ایران فراخوانی و سپس در Arc map مورد تحلیل قرار گرفت.

جدول ۲: مشخصات تصویر استفاده شده برای تراکم جمعیت

محصول	مجموعه تصاویر	توضیحات /حداکثر /حداقل /واحد /باند
GPWv4 <sup>۶</sup> : Population Density (Gridded Population of the World Version 4,11)	CIESIN/GPWv4 <sup>۷</sup> /GPW_Population_Density	population_density/-/* / ۸۱۰۶۹۴*/ The estimated number of persons per square kilometer

تحلیل آمار فضایی با توجه به دخیل کردن عامل فضا در محاسبات آماری، توانایی بالایی در ارائه الگوهای فضایی دارند به طوری که می‌توان نحوه توزیع پدیده‌های متعدد در فضا را خلاصه نمود (روسایی و همکاران، ۱۳۹۷). جهت بررسی وجود یا عدم وجود خوشبندی از آماره G و جهت شناسایی مناطق پرخطر و کم خطر<sup>۸</sup> نیز از آماره گتیس-ارد جی<sup>۹</sup> (آماره Gi) در محیط GIS استفاده شد. آماره Gi تحلیل لکه‌های داغ را برای تمام عوارض موجود در داده‌ها محاسبه می‌کند به طوری که مقدار مثبت و معنی‌دار Z مقادیر بالای خوشبندی شده و لکه‌های داغ را تشکیل می‌دهند و برای مقادیر منفی و معنی‌دار Z مقادیر پایین خوشبندی شده و لکه‌های سرد را تشکیل می‌دهند. برای تحلیل پراکنش مجموع آلاینده‌ها اقدام به تلفیق

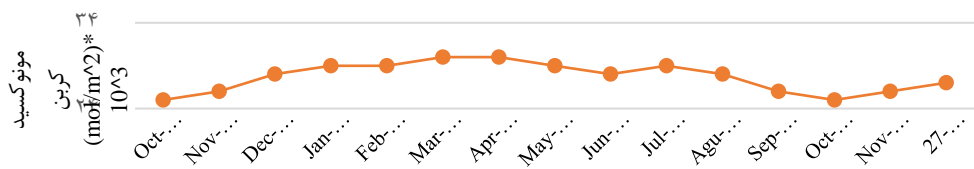
<sup>۱</sup>. Natural breaks<sup>۲</sup>. Zonal Statistics<sup>۳</sup>. Gridded Population of World<sup>۴</sup>. cold spot and hot spot<sup>۵</sup>. Getis-Ord Gi

نقشه‌های استخراج شده از تحلیل لکه‌های داغ شد (روستایی و همکاران، ۱۳۹۷). در نهایت، برای تعیین الگوی پراکنش آلاینده‌ها از شاخص موران جهت بررسی خود همبستگی مکانی بکار گرفته شد.

## شرح و تفسیر نتایج

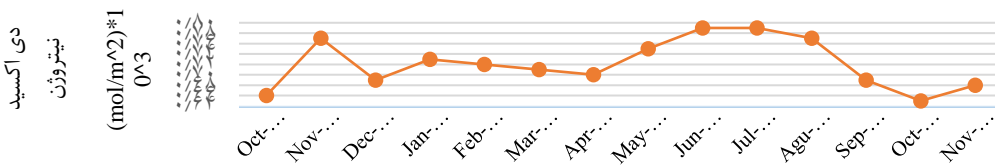
### • شب تغییرات میانگین ماهانه آلاینده‌های جوی

طیف تغییرات میانگین ماهانه میزان آلاینده CO در سال گذشته در ماههای مختلف بین  $0.024 - 0.03 \text{ mol/m}^3$  قرار دارد که به طور کلی در ایران میزان مونوکسید کربن تا مارس ۲۰۱۹ شب صعودی و سپس شب نزولی داشته است. بیشترین میزان این آلاینده در مارس و آوریل و کمترین غلظت در ماههای اکتبر است (شکل ۳). همچنین این نمودار نشان می‌دهد که در ایران غلظت این آلاینده در ۳ ماه پاییز (اکتبر نوامبر، دسامبر) روند افزایشی، در فصل بهار (آوریل، می، ژوئن) روند کاهشی داشته است.



شکل ۳: نمودار تغییرات میانگین ماهانه آلاینده CO در طول ۲۰۱۸-۲۰۱۹

تغییرات میانگین ماهانه آلاینده NO<sub>2</sub> (شکل ۴) نشان می‌دهد که میزان این آلاینده از الگوی خاصی تبعیت نمی‌کند و دارای حداکثر مقدار در ماههای ژوئن و جولای و دارای کمترین میزان مربوط به ماه اکتبر است. به طور کلی در فصل زمستان روند کاهشی، در فصل بهار افزایشی و در فصل تابستان روند کاهشی داشته است.



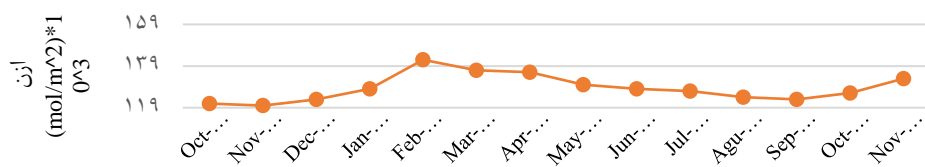
شکل ۴: نمودار تغییرات میانگین ماهانه آلاینده NO<sub>2</sub> در طول ۲۰۱۸-۲۰۱۹

در شکل (۵) نمودار تغییرات میزان آئروسل موجود در جو نشان می‌دهد که به طور کلی در جو ایران از اکتبر ۲۰۱۸ تا ژوئن ۲۰۱۹ میزان آئروسل افزایش و قابلیت دید کاهش یافته است. میزان آئروسل از ژوئن ۲۰۱۹ به حداکثر مقدار خود رسیده و سپس روند کاهش داشته است که در ماه اکتبر ۲۰۱۹ به حداقل مقدار می‌رسد.



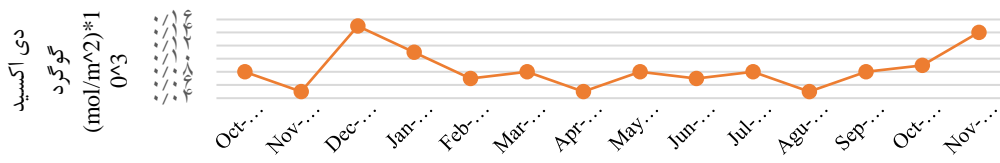
شکل ۵: نمودار تغییرات میانگین ماهانه AI در طول ۲۰۱۸-۲۰۱۹

بر اساس شب تغییرات میانگین ازن اتمسفری در ایران (شکل ۶)، میزان این آلاینده از اکتبر ۲۰۱۸ روند افزایشی دارد به طوری که در ماه فوریه به حداقل مقدار می‌رسد و سپس شب کاهشی و سپس در اکتبر ۲۰۱۹ باز روند افزایشی در پیش گرفته است. به طور کلی در فصل پاییز روند افزایشی، در فصل بهار و تابستان روند کاهشی داشته است.



شکل ۶: نمودار تغییرات میانگین ماهانه آلاینده O<sub>3</sub> در طول ۲۰۱۸-۲۰۱۹

تغییرات میانگین دی اکسید گوگرد در ایران دارای الگوی مشخصی نیست. حداقل مقدار آلاینده در ماه دسامبر ۲۰۱۹ و حداقل مقدار آن در ماههای نوامبر، آپریل و آگوست ثبت شده است (شکل ۷).

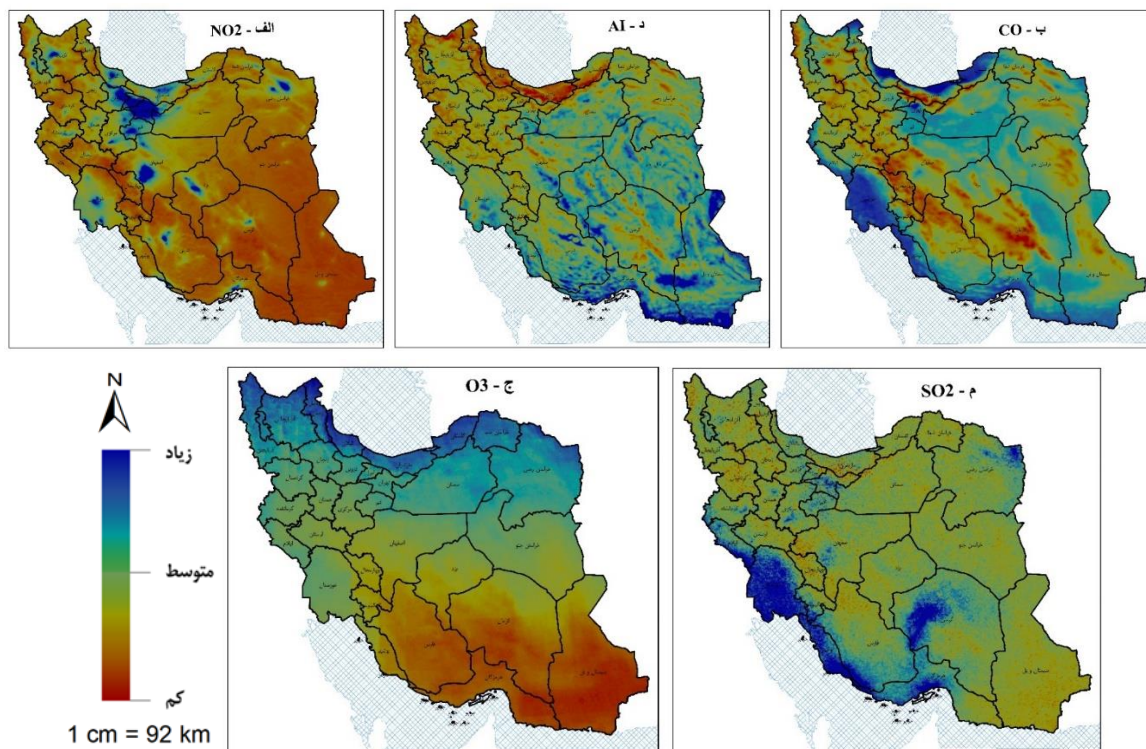


شکل ۷: نمودار تغییرات میانگین ماهانه آلاینده SO<sub>2</sub> در طول ۲۰۱۸-۲۰۱۹

#### • کانون آلاینده‌های هوا در مقیاس ایران

خروجی مکانی حاصل از پردازش ۲۶۲۲ تصویر ماهواره‌ای سنتیل-۵ در سال ۱۳۹۸ برای تهیه کانون‌های دی اکسید نیتروژن در ایران نشان داده است که بالاترین میزان این آلاینده به ترتیب در اکثریت شهرهای استان تهران و البرز و سپس در مراکز سایر استان‌ها از جمله اصفهان، قزوین، خراسان رضوی، قم، یزد، خوزستان، آذربایجان شرقی، گیلان، مازندران، فارس و استان مرکزی ثبت شده است. مراکز سایر استان‌ها نیز دارای مقدادر کمتری هستند (شکل ۸، الف). پردازش ۲۱۰۹ تصویر ماهواره‌ای نیز برای تهیه کانون‌های مونوکسید کربن در ایران نشان داده است که بالاترین میزان این آلاینده در شهر تهران و سواحل دریایی مازندران (گیلان، مازندران و گلستان) و خوزستان و بخش‌هایی ساحلی استان‌های بوشهر و هرمزگان است. از سمت شمال غرب ایران به سمت مرکز دارای کمترین میزان آلاینده مونوکسید کربن هستند (شکل ۸، ب). برای تعیین کانون‌های آلاینده ازن در ایران ۲۶۲۰ تصویر در طول یک سال مورد بررسی نشان داد که بالاترین مقدار ازن در قسمت‌های شمالی استان‌های آذربایجان غربی و شرقی، اردبیل، گیلان، مازندران، گلستان و خراسان شمالی است و کمترین میزان ازن در استان‌های سیستان و بلوچستان، هرمزگان، کرمان و فارس ثبت شده است. سایر استان‌ها دارای حد وسط هستند (شکل ۸، ج). تحلیل ۲۶۷۲ تصویر ماهواره‌ای نیز برای یافتن کانون‌های گرد و غبار با استفاده از شاخص AI نشان داد که مقدادر

مثبت این شاخص نشان دهنده وجود ذرات آتروسولی جذب کننده UV مانند گرد و غبار<sup>۱</sup> و دود<sup>۲</sup> است. بنابراین، در سال ۱۳۹۸ بیشترین حضور ریزگردها در استان‌های جنوب، شرق، جنوب شرقی و مرکز ایران بوده است و شهرهای شمالی و سواحل دریایی مازندران دارای کمترین میزان آتروسول بوده‌اند. سپس استان‌های غربی و شمال غربی نیز کمتر از این آلاینده متأثر بوده‌اند (شکل ۷، د). برای تعیین کانون‌های دی اکسید گوگرد نیز ۲۳۰ ۷ تصویر ماهواره‌ای سنتیل مورد تجزیه و تحلیل قرار گرفت که بر اساس نتایج بیشترین میزان این آلاینده در شهر تهران و سپس در استان‌های خوزستان، کرمان، هرمزگان، بوشهر، مرکزی، قم، اصفهان و خراسان رضوی ثبت شده است (شکل ۸، م).



شکل ۸: کانون آلاینده‌های ایران در سال ۱۳۹۸،  $\text{NO}_2$  (الف)،  $\text{CO}$  (ب)،  $\text{AI}$  (د)،  $\text{O}_3$  (ج)،  $\text{SO}_2$  (م)

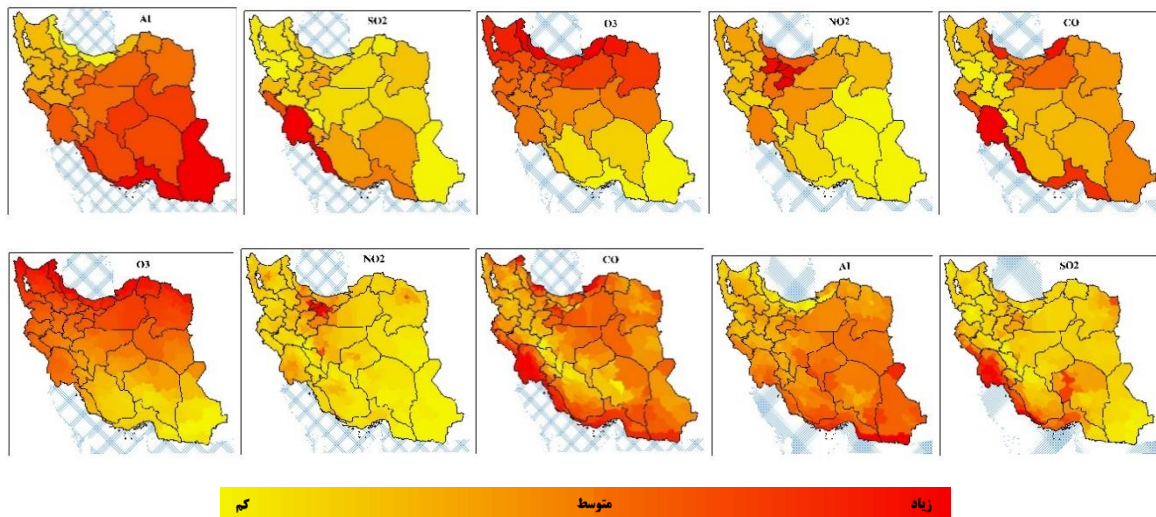
#### • تحلیل ناحیه‌ای سهم استان‌ها و شهرستان‌ها از آلاینده‌های جوی

نقشه میانگین هر کدام از آلاینده‌ها بر اساس واحدهای کاری مرز استان‌ها و شهرستان‌ها در سال ۱۳۹۵ در شکل (۹) نشان داده شده است به طوری که ارزش هر پیکسل در هر منطقه نشان دهنده میانگین تراکم آلاینده‌ها در همان منطقه است. بالاترین سهم از دی اکسید نیتروژن مربوط به استان‌های تهران، البرز، قزوین و قم است. بالاترین سهم استانی از مونوکسید کربن مربوط به استان خوزستان، گیلان و مازندران است. بالاترین سهم از گرد و غبار مربوط به استان‌های جنوب شرقی از

<sup>۱</sup> DUST

<sup>۲</sup> SMOKE

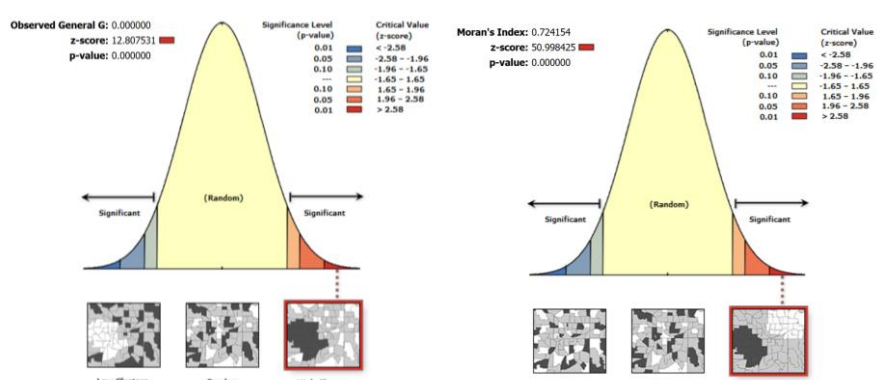
جمله سیسان و بلوچستان است. بالاترین سهم از دی اکسید گوگرد مربوط به استان خوزستان است. همچنین، بیشترین سهم از آلاینده ازن مربوط به استان‌های حاشیه دریایی مازندران است.



شکل ۹: سهم آلاینده‌ها بر اساس مرز استان (بالا) و مرز شهرستان (پایین)

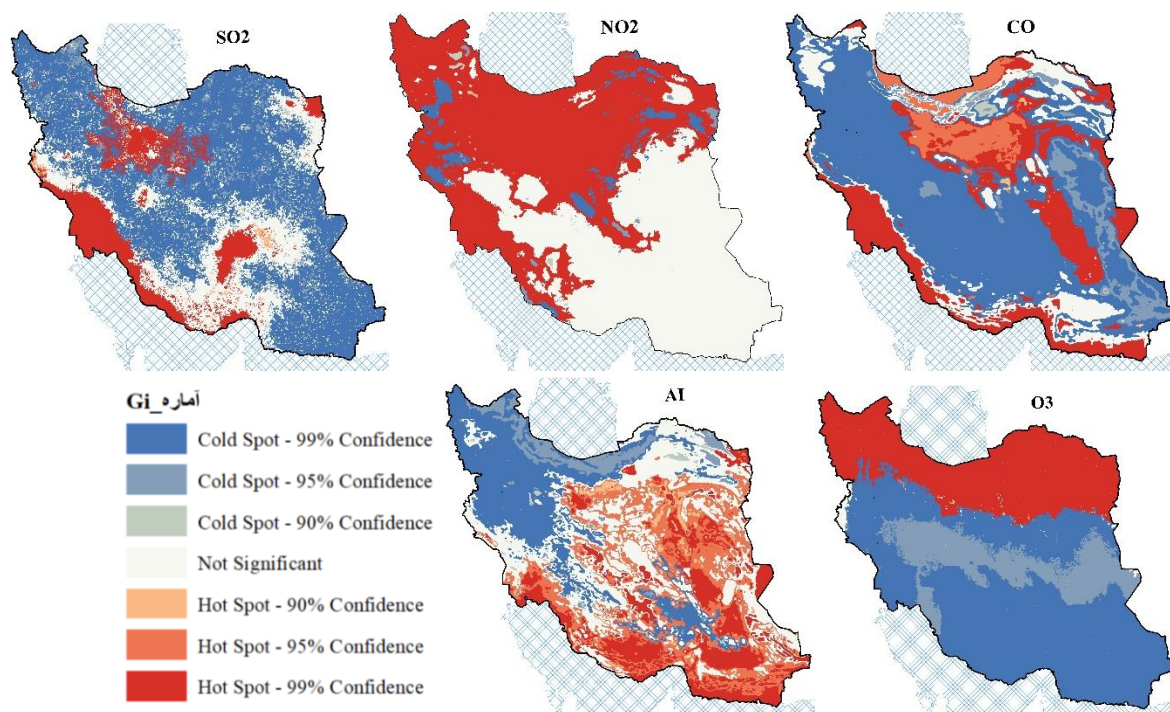
#### • تحلیل خوشبندی/لکه‌های داغ آلاینده‌ها در ایران

نتایج حاصل از تحلیل خوشبندی (شکل ۱۰، سمت راست) برای تشخیص وضعیت خوشبندی فضایی معنادار نشان داد که فرضیه صفر برای آماره G (هیچ خوشبندی فضایی بین داده‌ها وجود ندارد) رد شده است زیرا مقدار استاندارد Z عددی بالا و مقدار P بسیار کوچک و نزدیک به صفر است. عدد مثبت Z نیز نشان می‌دهد که مقادیر بالای آلودگی در منطقه خوشبندی شده است. برای تعیین الگوی پراکنش آلاینده‌های هوا بر اساس خود همبستگی فضایی، آماره موران برابر با ۰/۷۲ است و از آنجا که مقدار آن مثبت و به طرف ۱ میل می‌کند و با توجه به مقدار کوچک p و مقدار بزرگ Z داده‌ها در محدوده اطمینان قرار دارند و دارای خود همبستگی فضایی هستند و دارای الگوی توزیع خوش‌ای هستند.



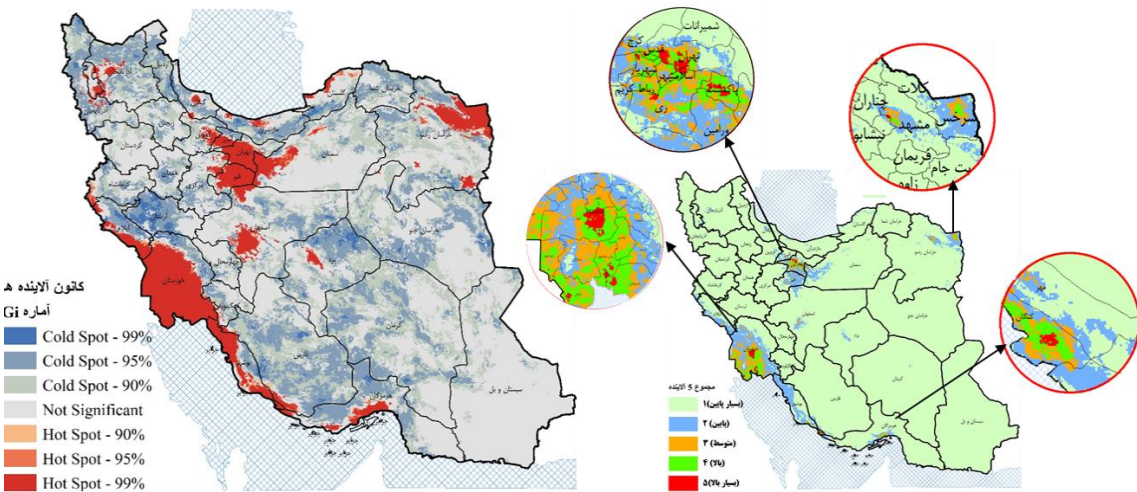
شکل ۱۰: خروجی ابزار آماره G در تحلیل خوشبندی (سمت راست); خروجی آماره موران (سمت چپ)

جهت بررسی نابرابری فضایی آلاینده‌های  $\text{NO}_2$ ,  $\text{CO}$ ,  $\text{SO}_2$  و  $\text{O}_3$  در ایران، تحلیل لکه‌های داغ برای تمامی آلاینده‌ها انجام شد. این تحلیل آماره  $\text{Gi}$  را برای تمای عوارض موجود محاسبه می‌کند. شکل (۱۱) تحلیل لکه‌های داغ را بر روی هر کدام از آلاینده‌ها در سال ۲۰۱۹ نشان می‌دهد. نقشه‌ها در یک طیف از نقاط سرد تا نقاط داغ مشاهده می‌شوند. لکه‌های قرمز رنگ (نقاط داغ) دارای مقادیر بزرگتر  $Z$  هستند و این محدوده‌ها دارای وضعیت آلوده‌تری نسبت به سایر مناطق هستند. با کاهش مقدار  $Z$  آلودگی کمتر و مقدار منفی و کوچکتر  $Z$  لکه‌های سرد را نشان می‌دهد که به رنگ آبی نشان داده شده‌اند.



شکل ۱۰: نقشه تحلیل لکه‌های داغ برای هر یک از آلاینده‌ها بر اساس آماره  $\text{Gi}$  در ایران در سال ۲۰۱۹

پس از تحلیل لکه‌های داغ برای هر آلاینده و استخراج نقشه آن‌ها به صورت مجزا، تمامی نقشه‌ها جهت ایجاد یک نقشه واحد از تحلیل لکه‌های داغ بر روی تمام آلاینده‌ها تلفیق شدند و نقشه پیوسته لکه‌های داغ آلودگی از لحاظ ۵ نوع آلاینده در ایران تعیین شد شکل (۱۱، سمت چپ). محدوده‌های قرمز رنگ وضعیت آلودگی نامطلوبی دارند و حاوی بیشترین مجموع از تمام آلاینده‌ها هستند و به احتمال ۹۹ درصد لکه‌ها داغ آلودگی در ایران هستند. هر چه به سمت محدوده‌های آبی رنگ پیش برویم وضعیت مطلوب‌تری در ارتباط با آلودگی هوا شاهد خواهیم بود و به احتمال ۹۹ درصد لکه‌های سرد و مطلوب هستند. با طبقه‌بندی لکه‌های داغ در ۵ طبقه کانون‌های دقیق آلوده در ایران شناسایی شدند (شکل ۱۱، سمت راست).



شکل ۱۱: تحلیل وضعیت کلی مجموع ۵ نوع آلاینده‌ها در ایران در سال ۲۰۱۹ (سمت چپ); طبقه‌بندی لکه‌های داغ (سمت راست)

کانون‌های اصلی آلودگی در شهرهای تهران و پاکدشت از استان تهران، اهواز، بندر ماهشهر، بندر امام خمینی و آبدان از استان خوزستان و بندر عسلویه از استان بوشهر قرار دارند که به لحاظ میانگین ۵ آلاینده دارای بیشترین میانگین می‌باشد و به عنوان کانون آلاینده‌ها در ایران شناسایی شدند. با مطابقت کانون‌های آلوده با تصاویر گوگل ارث نشان داد که پهنه‌های آلوده در شهرهای آبدان، بندر امام خمینی، بندر ماهشهر و اهواز (استان خوزستان)، تهران، پاکدشت (استان تهران) و بندر عسلویه (استان بوشهر) قرار دارند. به طور کلی استان خوزستان از لحاظ آلاینده‌ای مونوکسید کربن، سولفور دی اکسید دارای تراکم بسیار بالا، از لحاظ ذرات معلق و دی اکسید نیتروژن تراکم متوسط و از لحاظ ازون تراکم پایینی دارد. این استان با برخورداری از کارخانجات، صنایع مختلف تولیدی و پالایشگاه‌ها و پتروشیمی‌ها سهم بهسزایی در تولید آلودگی مناطق مختلف دارد. میانگین غلظت آلاینده‌های  $NO_2$ ,  $CO$  و  $SO_2$  در اهواز، آبدان، بندر ماهشهر و بندر امام خمینی دارای بالاترین مقدار و آلاینده  $O_3$  میانگین پایین‌تری نسبت به سایر آلاینده‌ها دارد. مشابه مطالعه حسینی و همکاران (۱۳۹۶) که آلودگی شهر اهواز را ناشی از مصرف انرژی‌های سوختی و صنایع نفتی و پتروشیمی می‌دانند و میزان آلاینده‌های مونوکسید کربن، دی اکسید سولفور و دی اکسید نیتروژن در شهر اهواز همیشه بالاتر از استاندارد بوده است. همچنین، پهنه‌های آلوده ارزیابی شده به عنوان کانون آلوده در آبدان نیز در مجاورت نیروگاه نفت و پتروشیمی قرار گرفته است، مشابه مطالعه هدایتی راد و همکاران (۱۳۹۵) که آلوده کننده‌های هوا در پالایشگاه و صنایع پتروشیمی آبدان از جمله  $SO_2$  و  $NO_2$  بالاتر از استاندارد بوده است و تا شعاع ۲۵ کیلومتری آسیب‌پذیرترین نقاط هستند. بندر ماهشهر نیز یکی از بنادر بزرگ صادرات برآوردهای نفتی در جهان است که به عنوان یکی دیگر از کانون‌های آلوده در ایران شناسایی شده است، مشابه مطالعه معروف نژاد و رئیس قنواتی (۱۳۹۲) ماهشهر یک قلب صنعتی به شمار می‌آید و از نظر محیط زیستی در موقعیت بسیار آلوده از لحاظ آلاینده‌های  $NO_2$ ,  $CO$ ,  $SO_2$ ,  $HC$  و  $O_3$  قرار دارد. بندر امام خمینی نیز بر روی تصاویر ماهواره‌ای به عنوان کانون آلودگی شناسایی شده است. این بندر به عنوان بزرگ‌ترین بندر تجاری ایران و حمل و نقل دریایی و همچنین حضور فعال ترین پتروشیمی در منطقه منجر به آلودگی هوای بالاتر از استاندارد شده است و پتروشیمی به عنوان آلوده ترین

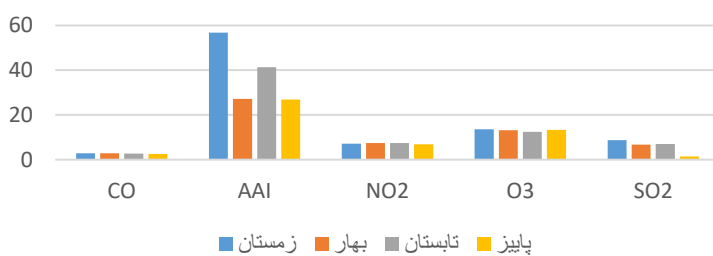
صنعت در نظر گرفته شده است و بندر امام خمینی نیز از این قاعده مستثنی نیست (معروف نژاد و رئیس قنواتی، ۱۳۹۲). در استان بوشهر نیز شهرستان کنگان به دلیل حضور بندر عسلویه دارای میانگین غلظت بالایی از آلاینده‌های  $\text{SO}_2$ ,  $\text{CO}$ ,  $\text{NO}_2$ , AI است و در استان بوشهر کانون آلاینده معرفی شده است. منطقه عسلویه به عنوان پایتخت انرژی و قطب اقتصادی وابسته به گاز و پتروشیمی ایران در بخش شمالی خلیج فارس به عنوان بزرگترین ذخایر گاز طبیعی ایران است و به دلیل میدان‌های عظیم گازی پارس جنوبی از موقعیت استراتژیکی برخوردار است (کشمیری و همکاران، ۱۳۹۷) و این میدان‌های گازی منجر به آلودگی منطقه تا کیلومترها شده است. شهرهای تهران و پاکدشت نیز از دیگر کانون‌های آلودگی در ایران هستند که به ترتیب دارای بیشترین غلظت  $\text{NO}_2$ ,  $\text{CO}$ ,  $\text{O}_3$  و AI هستند. بیش از ۸۰ درصد آلودگی هوای تهران ناشی از منابع متحرک (وسایل نقلیه) است (محمدی و همکاران، ۱۳۹۷). تولیدکنندگان اصلی  $\text{NO}_2$  و CO ترافیک و تولید کنندگان  $\text{SO}_2$  پالایشگاه نفت تهران است (حسینی و همکاران، ۱۳۹۷).

#### • توزیع جمعیت ایران

نتایج حاصل از GPW، توزیع جمعیت انسانی را در سال ۱۳۸۹ نشان داد. شهرستان‌های تهران، کرج، پاکدشت، اسلام شهر، البرز، قائم شهر، فردین کنار، رشت، بندر انزلي، خمینی شهر و لاورجان دارای بیشترین تراکم جمعیتی هستند. نسبت تراکم جمعیت به استان نیز نشان داد که به ترتیب استان‌های تهران، البرز، گیلان، مازندران و قم دارای بیشترین جمعیت (تعداد افراد در کیلومتر مربع) است.

#### • تفاوت غلظت آلاینده‌های هوای در فصول مختلف در ایران

نتایج حاصل از مقایسه میانگین غلظت آلاینده‌ها در فصول مختلف نشان داد که بین آلاینده‌های  $\text{CO}$  و  $\text{NO}_2$  و  $\text{O}_3$  در فصول مختلف تفوات معنی‌داری مشاهده نشده است اما ذرات معلق و آئروسل‌ها در فصول زمستان و پاییز دارای تفاوت معنی‌داری با مقدار این آلاینده در فصول بهار و پاییز دارند. همچنین آلاینده  $\text{SO}_2$  در فصل پاییز دارای غلظت پایین‌تری نسبت به سایر فصول در سال ۱۳۹۸ داشته است (شکل ۱۲)



شکل ۱۲- تفاوت غلظت آلاینده در فصول مختلف در ایران در سال ۱۳۹۸

### نتیجه‌گیری

ایستگاه‌های زمینی سنجش آلینده‌ها به صورت نقطه‌ای غلظت آلینده‌ها را اندازه‌گیری و پایش می‌کنند. بنابراین، دارای دقت بالایی هستند اما صرفاً اطراف ایستگاه‌ها را پوشش می‌دهند و در برآورد میزان آلینده در فواصل دورتر از سنجنده‌ها ناتوان هستند. بنابراین، تنها با اتكا به اندازه‌گیری این ایستگاه‌ها نمی‌توان به شناسایی کانون‌های آلینده دست یافت. نتایج حاصل از پراکنش آلینده‌های هوا در ایران نشان می‌دهد که برآورد میانگین غلظت آلینده‌ها با استفاده از تصاویر سنجش از دوری می‌تواند جهت شناسایی کانون‌های آلودگی در ایران از اهمیت بسیار زیادی برخوردار باشد. بنابراین، لازم است جهت مکان‌یابی کانون‌های آلینده‌های جوی از تصاویر پیوسته که روزانه میزان آلینده‌ها را در اتمسفر اندازه‌گیری می‌کنند استفاده نمود. بر اساس مطابقت نتایج می‌توان با دقت بالایی اقدام به پایش آلینده‌ها در مقیاس ایران با استفاده از تصاویر ماهواره‌ای سنتیل ۵ نمود. بیشترین کانون‌های آلودگی مربوط به صنایع پتروشیمی و پالایشگاه‌ها هستند و آلینده‌های رایج توسط این مراکز مواد آلی فرار،  $\text{NO}_x$ ,  $\text{SO}_2$ ,  $\text{CO}$ ,  $\text{H}_2\text{S}$ ، ذرات معلق و آثروسل می‌باشد (کشمیری و همکاران، ۱۳۹۷) و سایر کانون‌ها در پرجمعیت‌ترین مناطق شهری تهران قرار دارند که به دلیل بالا بودن جمعیت و ترافیک شهری در تولید بالای  $\text{NO}_x$  و  $\text{CO}$  (محمدی و همکاران، ۱۳۹۷) به عنوان کانون شناسایی شده‌اند. بنابراین به دلیل تراکم جمعیت بالاتر نسبت به سایر شهرهای ایران بحث آلودگی هوا می‌تواند در این شهر حائز اهمیت‌تر باشد. بنابراین استفاده از تصاویر ماهواره‌ای برای پایش آلینده‌های هوای ایران و موقعیت کانون‌ها می‌تواند به لحاظ هزینه پایین و صرف زمان بسیار متمرث مر واقع شود. بر اساس تصاویر ماهواره‌ای سنتیل - ۵ بیشترین کانون‌های آلودگی در ایران مربوط به صنایع پتروشیمی و پالایشگاه‌ها هستند که در محدوده‌هایی از شهرهای آبادان، بندر امام خمینی، بندر ماهشهر و اهواز (استان خوزستان)، بندر عسلویه (استان بوشهر) قرار دارند و آلینده‌های رایج توسط این مراکز  $\text{NO}_x$ ,  $\text{SO}_2$ ,  $\text{CO}$ ، ذرات معلق و آثروسل می‌باشد. همچنین، سایر کانون‌ها (تهران، پاکدشت از استان) در پرجمعیت‌ترین مناطق شهری تهران قرار دارند که به دلیل بالا بودن جمعیت و ترافیک شهری در تولید بالای  $\text{NO}_x$  و  $\text{CO}$  به عنوان کانون شناسایی شده‌اند. به دلیل تراکم جمعیت بالاتر ترهان و پاکدشت نسبت به سایر شهرهای ایران بحث آلودگی هوا می‌تواند در این شهر حائز اهمیت‌تر باشد. بنابراین استفاده از تصاویر ماهواره‌ای برای پایش آلینده‌های هوای ایران و موقعیت کانون‌ها می‌تواند به لحاظ هزینه پایین و صرف زمان بسیار متمرث مر واقع شود.

### منابع

- حجازی، عباس؛ محمد رضا مباشری و ابوالفضل احمدیانمرج. ۱۳۹۱. تهیه نقشه توزیع مکانی ذرات معلق به قطر  $2/5$  میکرومتر را در هوای شهر تهران با استفاده از سنجنده مودیس. نشریه تحقیقات کاربردی علوم جغرافیایی، (۱۲): ۱۶۲-۱۷۸.
- حسینی، سیده سمیه؛ زلیخا نادرخانی و بنت الهدی بزدان بخش. ۱۳۹۶. ارزیابی ناپایداری زیست محیطی شهر اهواز با تأکید بر آلودگی هوا (با استفاده از روش FPPSI). محیط زیست طبیعی، (۷۰): ۳۱۷-۳۰۹.
- حسینی، عباس ملک و فربیبا سلیمانی. ۱۳۹۷. بررسی تاثیر آلینده‌های تانیرگذار بر آلودگی هوای تهران و ارائه راهکارهای کنترل با توجه به شاخص کیفیت AQI. نگرش نو در جغرافیای انسانی، (۱۰): ۵۵-۷۳.
- روستایی، شهریور؛ حسین کریم‌زاده و فاطمه زادولی. ۱۳۹۷. مقایسه تحلیل آمار فضایی یا آمار کلاسیک در تحلیل شاخص‌های اجتماعی فقر شهری تبریز. فصلنامه برنامه ریزی منطقه‌ای، (۳۱): ۱۶۵-۱۵۳.

- قربانی، محمد و علی فیروز زارع. ۱۳۸۸. ارزش‌گذاری ویژگی‌های مختلف آلودگی هوا در مشهد. *مجله تحقیقات اقتصادی*, ۸۹: ۲۴۱-۲۱۵.
- قربانی‌سالخورد، رضوان؛ محمدرضا میاشری و مجید رحیم‌زادگان. ۱۳۹۱. روشی سریع در برآورد غلظت ذرات معلق با استفاده از سنجنده مودیس: یک مطالعه موردی در تهران. *نشریه حکیم*, ۱۵(۲): ۱۷۷-۱۶۶.
- کشمیری، سعید؛ صفورا پردل؛ علیرضا رئیسی؛ ایرج نبی‌پور؛ حسین دارابی؛ سعیده جمالی؛ سینا دوبرادران؛ غلامرضا حیدری؛ افشن استوار؛ بهمن رماوندی؛ رحیم طهماسبی؛ مریم مرزبان؛ عبدالحمید خواجه‌ثیان؛ علی محمد صنعتی و شکرالله فرخی. ۱۳۹۷. بررسی آلودگی‌های زیست محیطی ناشی از صنایع گاز و پتروشیمی و اثرات آن بر سلامت ساکنین منطقه عسلویه، پایتحت انرژی ایران: یک مطالعه موروری. *دوماهنامه طب جنوب*, ۲۱(۲): ۱۶۲-۱۸۵.
- محمدی، اکبر؛ مهدی قره‌خلو نره؛ کرامت‌اله زیاری و احمد پور‌احمد. ۱۳۹۷. استفاده از مدل رگرسیون کاربری اراضی (LUR) برای پیش‌بینی آلاینده‌های NO<sub>2</sub> و CO<sub>10</sub> (مطالعه موردی: شهر تهران). *پژوهش‌های جغرافیایی انسانی*, ۵۰(۱): ۱۶-۱۱.
- محمدی، حسین؛ علی‌اکبر شمسی‌پور؛ اکبر یاسیان و مهرداد محمد مرادیان. ۱۳۹۷. ارزیابی اثرات ترافیک شهری بر کیفیت هوای تهران (مطالعه موردی: خیابان ولی‌عصر). *مطالعات علوم محیط زیست*, ۳(۳): ۷۶۸-۷۵۶.
- محمودی سراب، سجاد عالی؛ محمد‌هادی معیری، شعبان شتابی جویباری و علیرضا راشکی. ۱۳۹۷. برآورد میزان آلودگی هوا (pm<sup>10</sup>) با استفاده از داده‌های آب و هوایی (مطالعه موردی: شهرستان اهواز). *محیط‌زیست طبیعی، منابع طبیعی ایران*, ۷۱(۳): ۳۹۷-۳۸۵.
- معروف نژاد، عباس. و رئیس قنواتی، کامران. ۱۳۹۲. تاثیر مدیریت شهری در کاهش آلاینده‌های صنایع ماهشهر. *فصلنامه اقتصاد و مدیریت شهری*, ۶(۳۵-۱۹).
- هدایتی‌راد، فائزه؛ عبدالرسول سلمان ماهینی و سید حامد میرکریمی. ۱۳۹۵. مدل‌سازی پراکنش آلودگی هوا پالایشگاه نفت آبادان با نرم افزار SCREEN<sup>۳</sup>. *پژوهش‌های محیط زیست*, ۷(۱۳): ۱۰۲-۹۳.
- Granahan, G, and F. Murray. ۲۰۰۳. Air pollution and health in rapidly developing countries. *Bulletin of the World Health Organization*, ۸۱(۱۰): ۷۷۱p.
- de Kok, T.M.; H.A. Driese; J.G.; Hogervorst, and J.J. Briedé. ۲۰۰۶. Toxicological assessment of ambient and traffic-related particulate matter: a review of recent studies. *Mutation Research/Reviews in Mutation Research*, ۶۱۳(۲-۳), ۱۰۳-۱۲۲.
- Wilson, A.M.; J.C. Salloway, C.P. Wake, T. Kelly. ۲۰۰۴. Air pollution and the demand for hospital services: a review. *Environment International*, 30(8): ۱۱۰۹-۱۱۱۸.
- Chen, R.; W. Huang, C.M. Wong, Z. Wang, T.Q. Thach, and B. Chenm. ۲۰۱۲a. Short-term exposure to sulfur dioxide and daily mortality in ۱۷ Chinese cities: The China air pollution and health effects study (CAPES). *Environmental Research*, ۱۱۷: ۱۰۱-۱۰۷.
- Chen, R.; E. Samoli, C.M. Wong, W. Huang, Z. Wang, B. Chen. ۲۰۱۲b. Associations between short-term exposure to nitrogen dioxide and mortality in ۱۷ Chinese cities: The China Air Pollution and Health Effects Study (CAPES). *Environment International*, ۴۰(۱۰): ۳۲-۸.
- Daniel, J; D. Jacob, A. Winner. ۲۰۰۹. Effect of climate change on air quality. *Atmospheric Environment*. ۴۳: ۵۱-۶۳.
- Piraino, F.; R. Aina, L. Palin, N. Prato, S. Sgorbati, and A. Santagostino. ۲۰۰۷. Air quality biomonitoring: assessment of air pollution genotoxicity in the Province of Novara (North Italy) by using Trifolium repens L. and molecular markers. *Science of The Total Environment*, 372(1): ۳۵۰-۳۵۹.

- Reboul, C.; J. Thireau, G. Meyer, L. André, P. Obert, and O. Cazorla. ۲۰۱۲. Carbon monoxide exposure in the urban environment: An insidious foe for the heart? (۲۰۱۲). *Respiratory Physiology & Neurobiology*, ۱۸۴(۲): ۲۰۴ - ۲۱۲.
- Tiwary, A. and J. Colls. ۲۰۰۹. Air pollution: measurement, modelling & mitigation. ۳rd edition. CRC Press.
- WHO. ۲۰۱۰. WHO guidelines for indoor air quality: selected pollutants. Geneva, Switzerland: World Health Organization.
- Wark, K. and C.F. Warner. ۱۹۸۱. Air pollution: its origin and control. ۳rd edition. Prentice Hall. ۹۶۷p.